



بررسی تأثیر پارامترهای طراحی در کاهش آلاینده NO_x با روش کاهش انتخابی غیرکاتالیستی (SNCR)

مسعود شفا^۱، کیومرث مظاہری^{۲*}، علیرضا علیپور^۳

۱- دانشجوی کارشناسی ارشد، مهندسی مکانیک، دانشگاه تربیت مدرس، تهران

۲- استاد، مهندسی مکانیک، مهندسی مکانیک، دانشگاه تربیت مدرس، تهران

۳- دانشجوی دکترا، مهندسی مکانیک، دانشگاه تربیت مدرس، تهران

* تهران، صندوق پستی ۱۴۱۱۵-۱۱۱، kiumars@modares.ac.ir

چکیده

کوره‌های صنعتی و نیروگاه‌ها با مصرف قابل توجه سوخت‌های فسیلی، نقش عمده‌ای در تولید آلاینده‌های هوا دارند. اکسید نیتروژن از جمله این آلاینده‌های است. در تحقیق حاضر، اثر هندسه‌های مختلف در کاهش اکسید نیتروژن (NO) با روش کاهش انتخابی غیرکاتالیستی در دودکش کوره‌های صنعتی و نیروگاه‌ها، به صورت عددی بررسی شده است. در این روش، آمونیاک در محدوده دمای بین ۱۱۵۰ تا ۱۳۵۰ کلوین به دون روش تزریق شده و با اکشن با NO . گاز نیتروژن تولید می‌کند. هندسه مورد استفاده شامل دودکش استوانه‌ای به طول ۵۰۰ سانتی‌متر و قطر دودکش تزریق شده و با اکشن با NO . گاز نیتروژن تولید می‌کند. هندسه مورد استفاده شامل دودکش مورد بررسی پنج سانتی‌متر است. چهار هندسه تزریق آمونیاک توسط یک نازل، دو نازل، چهار نازل و پاشش توسط یک حلقه در دور دودکش مورد بررسی قرار گرفته است. با بررسی میزان کاهش آلاینده NO ، مشاهده شد که تزریق با یک نازل نسبت به سایر هندسه‌ها بازده کمتری در روش SNCR ایجاد می‌کند. همچنین، در ادامه اثر افزایش طول دودکش نیز بررسی شده است. با افزایش طول دودکش مشخص شد، این عامل تأثیر زیادی بر کاهش پدیده لغزش آمونیاک دارد. برای بررسی اثر زاویه نازل آمونیاک بر بازده SNCR، تزریق در زوایای ۷۵-تا ۷۵ درجه مورد ارزیابی قرار گرفت. مشخص شد با افزایش قدر مطلق زاویه نازل، بازده این پدیده کاهش می‌یابد. در نهایت تأثیر افزودن سپرک در مسیر جریان مورد بررسی قرار گرفت. مشاهده شد با افزودن سپرک زمان و طول مورد نیاز برای انجام واکنش بهدلیل اختلاط بهتر کاهش می‌یابد.

اطلاعات مقاله

مقاله پژوهشی کامل

دریافت: ۱۴ مهر ۱۳۹۳

پذیرش: ۲۶ ابان ۱۳۹۳

ارائه در سایت: ۰۳ دی ۱۳۹۳

کلید واژگان:

آلاینده NO

روش کاهش انتخابی غیرکاتالیستی

هندسه

زاویه نازل

سپرک

Investigation of geometry effect on reduction of nitrogen oxide by Selective Non Catalytic Reduction (SNCR) method

Masoud Shafa¹, Kiumars Mazaheri^{2*}, Alireza Alipoor³

Department of Mechanical Engineering, Tarbiat Modares University, Tehran, Iran

* P.O.B. 14115-111 Tehran, Iran, kiumars@modares.ac.ir

ARTICLE INFORMATION

Original Research Paper

Received 06 October 2014

Accepted 17 November 2014

Available Online 26 December 2014

Keywords:

Pollutant of NO

Selective Non Catalytic Reduction Method

Geometry

Nozzles Angle

Baffle

ABSTRACT

Industrial kilns and power plants with high consumption of fossil fuels play a significant role in the production of air pollutants. Nitrogen oxide is one of these pollutants. In the present work, effect of different geometries on NO reduction in stack of industrial kilns and power plants is investigated numerically based on a selective non catalytic reduction (SNCR) method. In SNCR method, the NO reacts with ammonia which is injected into the kiln stack at temperature range of about 1150-1350 K and nitrogen is formed. In this study, a cylindrical stack with 500 cm length and 5 cm diameter is chosen, similar to Ostberg's experimental work. Four geometries for ammonia injection with one, two, and four nozzles and by a ring around the stack have been studied. Numerical simulation of NO reduction by SNCR method shows that injection with one nozzle has lower efficiency than other injection geometries. Also, effect of gas stack length on NO reduction has been investigated. The results show that increasing stack length has a significant effect on ammonia slip reduction phenomenon. To investigate the effect of ammonia injection nozzle angle on SNCR efficiency, nozzle angles between -75 to 75 degrees were analyzed. Results show that the efficiency of this phenomenon decreases by increasing absolute value of injection nozzle angle. Finally, effect of baffle presence in mainstream has been studied. It is observed that the required time and length for reaction decrease due to better mixing.

صنعتی و نیروگاه‌ها نیز به عنوان یکی از مصرف‌کنندگان قابل توجه

سوخت‌های فسیلی، نقشی عمده‌ای در ایجاد این آلودگی دارند [۱].

در میان آلاینده‌های تولید شده توسط سوخت‌های هیدروکربنی، کاهش

NO و NO_2 بیش از سایر آلاینده‌ها مورد توجه قرار دارد که در اصطلاح به

۱- مقدمه

محصولات ناشی از احتراق سوخت‌های هیدروکربنی شامل ترکیبات CO , N_2 ,

O_2 , H_2O , NO_2 و SO_2 هستند که در میان آن‌ها ترکیبات CO , N_2 , O_2 ,

H_2O و NO_2 به عنوان آلاینده محیط زیست شناخته می‌شوند. کوره‌های

Please cite this article using:

M. Shafa, K. Mazaheri, A. Alipoor, Investigation of geometry effect on reduction of nitrogen oxide by Selective Non Catalytic Reduction (SNCR) method, *Modares Mechanical Engineering*, Vol. 15, No. 2, pp. 92-100, 2015 (In Persian)

برای ارجاع به این مقاله از عبارت ذیل استفاده نمایید:

M. Shafa, K. Mazaheri, A. Alipoor, Investigation of geometry effect on reduction of nitrogen oxide by Selective Non Catalytic Reduction (SNCR) method, *Modares Mechanical*

بازده SNCR با افزایش غلظت اکسیژن بالا می‌رود. استبرگ و همکاران [6] نیز در یک کار تجربی اثر دما را بر SNCR بررسی کردند. ایشان دریافتند که در دمای 1250 کلوین، بیشترین بازده SNCR اتفاق می‌افتد. در ضمن، با افزودن نیتروژن به آمونیاک تزریقی مشاهده شد که بازده SNCR افزایش می‌یابد. افزودن هوا نیز، نتایج مشابهی را در برداشت.

به موازات کارهای تجربی انجام شده، شبیه‌سازی‌های عددی متفاوتی نیز در زمینه SNCR گزارش شده است. در کار عددی بورستروم و همکاران [7] به بررسی روش SNCR در کاهش NO_x ایجاد شده از کوره آهن پرداخته شده است. آن‌ها تغییرات NO_x و دما در طول دودکش را با سینتیک شیمیایی دو مرحله‌ای بروور مورد بررسی قرار دادند. نتایج این کار نشان داد که بیشترین شدت کاهش NO_x در ابتدای تزریق است و در نقاط پایین دست دودکش این شدت کم می‌شود.

در کار عددی دیگر، زاناثلو و همکاران [8] به بررسی اثر اختلاط در پدیده SNCR پرداختند. ایشان مشاهده کردند که در دمای کمتر از 1200 کلوین، بازده SNCR به اختلاط بستگی ندارد. علت این پدیده بزرگ‌تر بودن زمان مشخصه واکنش از زمان پدیده اختلاط است که موجب می‌شود سینتیک مواد شیمیایی میزان کاهش NO را کنترل کند. با این حال، وقتی دما افزایش می‌یابد، نرخ واکنش نیز زیاد می‌شود و زمان واکنش را همراهی با زمان اختلاط می‌کند. در این وضعیت افزایش اختلاط منجر به کاهش بهتر NO می‌شود. همچنین، ایشان تأثیر دو سینتیک شیمیایی دوو و بروور را مورد مطالعه قرار دادند. نتایج ایشان نشان داد که سینتیک شیمیایی بروور از دقت بالاتری برای شبیه‌سازی این پدیده برخوردار است.

حسینی و همکاران [9] در کاری تجربی و عددی به بررسی اثر زاویه پاشش آمونیاک در پدیده SNCR پرداختند. ایشان با استفاده از تجهیزات آزمایشگاهی، روش SNCR را برای کاهش آلینده گازهای خروجی، ناشی از احتراق غیر پیش آمیخته گازوئیل-هوا بررسی نمودند. همچنین، به موازات کار آزمایشگاهی، شبیه‌سازی این پدیده را با استفاده از نرم‌افزار فلوبت انجام دادند. در این کار هندسه دودکش به صورت دو بعدی تقارن محوری درنظر گرفته شده است که با توجه به وجود یک نازل در کار آزمایشگاهی امکان اعتبارسنجی آن با نتایج تجربی وجود ندارد. همچنین، از آنجایی که این پدیده ماهیتی مشوش دارد در نظر گرفتن هندسه دو بعدی مطلوب نیست. نتایج کار ایشان نشان می‌دهد که استفاده از نازل با زاویه پاشش کمتر (به علت نفوذ بهتر آمونیاک به درون محصولات دودکش) بازده SNCR را افزایش می‌دهد و همچنین دمای پاشش بهینه مقدار 1355 کلوین است.

شفا و همکاران [10] در کاری عددی به بررسی تأثیر سینتیک‌های شیمیایی میلر، دوو، گلاربرگ و بروور در پیش‌بینی کاهش NO با روش SNCR پرداختند. نتایج کار آن‌ها نشان داد که سینتیک‌های شیمیایی گلاربرگ و بروور نسبت به دو سینتیک دیگر خطای کمتری دارند.

با مروری بر کارهای انجام شده در زمینه روش SNCR مشاهده می‌شود که هندسه یکی از پارامترهای مؤثر در مقدار بازده این پدیده است. تعداد نازل استفاده شده به منظور پاشش آمونیاک به درون دودکش و همچنین طول دودکش، از عوامل هندسی مهم در این روش هستند. با توجه به مطالعات انجام شده توسط نکارنده‌گان، در زمینه تعداد نازل‌ها و طول دودکش تاکنون تحقیق عددی انجام نشده است و تنها در مرجع [9] زاویه پاشش بررسی شده است. بنابراین، هدف از کار حاضر بررسی تأثیر هندسه، شامل تعداد نازل‌های پاشش آمونیاک به درون دودکش، طول دودکش و زاویه نازل‌ها بر روی

NO و NO₂ گفته می‌شود. چون، بیش از 85 درصد NO_x، مربوط به NO است، بنابراین در مطالعات نیز معمولاً تغییر کسر جرمی NO به عنوان آلینده NO_x مورد بررسی قرار می‌گیرد و از اثرات NO₂ صرف‌نظر می‌شود [2]. با توجه به لزوم کاهش آلینده‌ها، روش‌های مختلفی برای کاهش آلینده NO_x ارائه شده است. بهبود شرایط احتراق، استفاده از مشعل‌های با کاهش تزریق مرحله‌ای هوای احتراق، کاهش انتخابی غیرکاتالیستی¹ و کاهش انتخابی کاتالیستی از جمله روش‌های کاهش NO_x در کوره‌های صنعتی و نیروگاه‌ها است.

یکی از روش‌های پرکاربرد، روش کاهش انتخابی غیرکاتالیستی است. این روش اولین بار در سال 1975 توسط ایکسون [2] به کار گرفته شد. در این روش، در محدوده دمایی بین 1150 تا 1350 کلوین، آمونیاک (NH₃) به درون دودکش تزریق می‌شود و با محصولات خروجی از محفظه احتراق مخلوط می‌شود. محصولات گازی درون دودکش در دمای بالا با آمونیاک واکنش داده و مقدار قابل توجهی از NO_x، به آب و نیتروژن تبدیل می‌شود. بازده، نسبت مولی NH₃ به NO_x و دمای بهینه سه پارامتر مهم در روش SNCR هستند. بازده به صورت نسبت $\text{NO}_{\text{out}}/\text{NO}_{\text{in}}$ تعريف می‌شود. NO_{out} و NO_{in} به ترتیب مربوط به آلینده NO_x ورودی و خروجی به دودکش هستند. بازده روش SNCR معمولاً در محدوده 60 تا 70 درصد قرار دارد. نسبت مولی NH₃ به NO_x با R نشان داده می‌شود. این نسبت بسته به نوع کاربرد، عددی بین 1 تا 2 است. افزایش مقدار R به مقادیر بزرگ‌تر از 2 تأثیر قابل توجهی بر روی بازده نخواهد داشت، اما باعث خروج بخشی از آمونیاک تزریقی از دودکش می‌شود که به این پدیده لغزش آمونیاک گفته می‌شود. از آنجایی که آمونیاک ماده‌ای سمی است، باید از لغزش آمونیاک جلوگیری شود.

به دمایی که در آن بیشترین بازده روش SNCR ایجاد می‌شود، دمای بهینه گفته می‌شود. در دمای کمتر از 1150 کلوین، شدت واکنش‌ها کم هستند [2] و نه تنها کاهش NO_x ایجاد نمی‌شود بلکه بیشتر NH₃ تزریقی بدون واکنش باقی می‌ماند. در دمایی بیشتر از 1350 کلوین، NH₃ تمایل به اکسید شدن به شکل NO دارد، که این نیز در کاهش NO_x مطلوب نیست.

از دیگر پارامترهای قابل تعریف در کار حاضر زاویه نازل و زاویه پاشش هستند. زاویه نازل مربوط به زاویه قرارگیری نازل در مکان تزریق است، در حالی که زاویه پاشش نازل نصف زاویه مخروطی است که از پاشش ایجاد می‌شود.

موزیو و همکاران [3] با استفاده از روش‌های آزمایشگاهی بر روی احتراق غیر پیش آمیخته متان-هوا نشان دادند که مقدار بهینه کاهش NO_x در $R=1/6$ رخ می‌دهد. طبق نتایج ایشان در $R=1$ مقدار آلینده NO_x تا 65 درصد و در $R=3$ تا بیش از 90 درصد کاهش می‌یابد. با افزایش مقدار R، هم‌زمان پدیده لغزش نیز تشدید می‌شود [3].

لیون و همکاران [4] در کار تجربی خود اثر مقدار غلظت اکسیژن موجود در گاز دودکش را مورد بررسی قرار دادند. ایشان دریافتند حضور اکسیژن یکی از پارامترهای تأثیرگذار برای شروع روند SNCR است و عملأً بدون وجود اکسیژن حذف NO_x توسط فرآیند SNCR اتفاق نمی‌افتد.

رابین و همکاران [5] همین اثر را برای سوخت زغال‌سنگ در دو دمای مختلف مورد آزمایش قرار دادند. ایشان مشاهده کردند که در دمای 1273 کلوین، تغییرات SNCR مستقل از غلظت اکسیژن است. اما در 1181 کلوین،

1- Selective Non Catalytic Reduction

$$\text{معادله بقای گونه} \\ \rho \left(\frac{\partial Y_i}{\partial t} + u \cdot \nabla Y_i \right) = -\nabla \cdot (\rho Y_i V_i) + \dot{\omega}_i \quad (10)$$

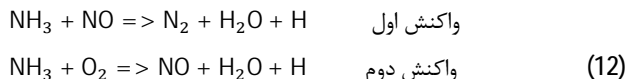
در معادله بقای گونه، Y_i و V_i به ترتیب کسر جرمی گونه و سرعت نفوذی گونه ام هستند.

$$\text{معادله حالت گاز ایده‌آل} \\ \rho = \frac{PMW_{\text{mix}}}{R_u T} \quad (11)$$

در معادله حالت گاز ایده‌آل، MW_{mix} و R_u به ترتیب جرم مولکولی مخلوط و ثابت جهانی گازها هستند.

با توجه به پیشنهاد مرجع [7]، برای مدل‌سازی جریان اغتشاشی، مدل K-4 استاندارد به کار گرفته می‌شود. در کار حاضر با توجه به دایروی بودن مقاطع، غیرچرخشی بودن جریان و بالا بودن عدد رینولدز استفاده از مدل دو معادلهای K-4 استاندارد مناسب است.

در کار حاضر، برای بیان روابط شیمیایی بین واکنش‌دهنده‌ها با توجه به پیشنهاد مرجع [10] از سینتیک دو مرحله‌ای بروور استفاده شده است. رابطه (12) این سینتیک را نشان می‌دهد.



3- مسئله شبیه‌سازی شده

هنده مورد استفاده در کار حاضر با توجه به کار تجربی استبرگ و همکاران [6] انتخاب شده است. هنده مورد نظر دودکش استوانه‌ای به طول 500 سانتی‌متر و قطر 5 سانتی‌متر است. طرحواره این هنده در شکل 1 نشان داده شده است.

در این شکل، نقاط 1 و 2 به ترتیب مربوط به نقطه اختلاط واکنش‌دهنده‌ها و مکان محافظه احتراق هستند. با عبور محصولات احتراق از خنک‌کننده که با شماره 3 در شکل نشان داده شده است، دمای محصولات تا دمای مورد نظر کاهش و محصولات وارد دودکش افقی می‌شوند. ترکیب محصولات در ورودی دودکش برابر $73/4$ درصد حجمی N_2 , $15/1$ درصد حجمی H_2O , $8/0$ درصد حجمی CO_2 , $3/4$ درصد حجمی O_2 و $0/0537$ درصد حجمی NO , با دبی 940 nl/min و دمای 1250°K است.

در نقطه 5 (به فاصله 125 سانتی‌متر از ابتدای دودکش) تزریق آمونیاک از نازلی به قطر $1/9$ میلی‌متر صورت می‌گیرد و نسبت مولی NH_3 به NO_x برابر 2 است. دبی تزریق آمونیاک برابر 1 nl/min و دمای آن 300°K است. نقطه 4 نشانگر مرکز دودکش و نقطه 6 مربوط به مکان اندازه‌گیری کسر جرمی گازهای خروجی است. تمام دودکش افقی توسط پوشش سرامیک، عایق‌بندی شده است.

4- روش عددی و شرایط موزی

در پژوهش حاضر برای شبکه‌بندی میدان حل، نرمافزار گمیت² به کار گرفته شده است. همچنین، برای شبیه‌سازی عددی سه‌بعدی تزریق ماده آمونیاک به صورت جت گازی از حلگر واکنشی ریاکتینگ فوم³ مربوط به کد متن باز اپن فوم⁴ استفاده شده است. تصحیح فشار در حلگر ریاکتینگ فوم با الگوریتم

آلینده NO_x با روش SNCR است. برای اعتبارسنجی برنامه استفاده شده و تطبیق آن با نتایج تجربی، از کار آزمایشگاهی استبرگ و همکاران [6] استفاده شده است.

2- معادلات حاکم

برای شبیه‌سازی جریان به همراه واکنش‌های شیمیایی، معادلات ناویر-استوکس به همراه معادلات بقای انرژی و بقای گونه‌ها و معادله حالت گاز کامل حل می‌شوند. معادلات حاکم به صورت رابطه (1) تا (11) بیان می‌شوند.

$$\frac{\partial \rho}{\partial t} + \nabla \cdot (\rho u) = 0 \quad (1)$$

در رابطه (1)، ρ چگالی و u بردار سرعت است.

معادله بقای مومنتوم

$$\rho \frac{D u}{D t} = \rho g - \nabla p + \mu \nabla^2 u \quad (2)$$

معادله بقای انرژی

$$\rho c_p \left(\frac{\partial T}{\partial t} + u \cdot \nabla T \right) = \nabla \cdot (\lambda \nabla T) - \sum_{i=1}^{N_g} h_i \dot{\omega}_i \quad (3)$$

در رابطه (3)، λ و c_p به ترتیب ضریب گردش حرارتی مخلوط، ظرفیت حرارتی و آنتالپی گونه i می‌شوند. جمله $\dot{\omega}_i$ مربوط به نرخ تشکیل یا از بین رفت گونه شیمیایی i است که با توجه به سینتیک شیمیایی مشخص می‌شود. برای توضیح نحوه محاسبه جمله $\dot{\omega}_i$ ابتدا باید شکل کلی واکنش شیمیایی بیان شود. برای یک سیستم شیمیایی مشکل از N گونه و M واکنش می‌توان واکنش شیمیایی را به صورت رابطه (4) بیان نمود.

$$\sum_{i=1}^N v'_{ij} \mathcal{M}_k \rightleftharpoons \sum_{i=1}^N v''_{ij} \mathcal{M}_l, \quad j = 1, M \quad i = 1, \dots, N \quad (4)$$

به طوری که \mathcal{M}_i نشانگر گونه i ام و v'_i و v''_i ضرایب مولی استوکیومتری گونه i ام در واکنش زام هستند. بر این اساس نرخ جرمی تولید/صرف گونه i ام بر واحد حجم، $\dot{\omega}_i$ ، به صورت روابط (5) تا (7) بیان می‌شوند.

$$\dot{\omega}_i = \frac{d[X_i]}{dt} = \sum_{j=1}^M v_{ij} Q_j \quad (5)$$

$$v_{ij} = v''_{ij} - v'_{ij} \quad (6)$$

$$Q_j = K_{fj} \prod_{i=1}^N [X_i]^{v'_{ij}} - K_{rj} \prod_{i=1}^N [X_i]^{v''_{ij}} \quad (7)$$

X_i نماد غلظت مولی گونه i ام، $\rho Y_i / W_i$ و Q_j نماد غلظت مولی گونه j ام و K_{fj} و K_{rj} نرخ پیشرفت واکنش j ام هستند. در محاسبات عددی ثابت‌های نرخ j و K_{fj} و K_{rj} به طور معمول با استفاده از قانون آنیوس¹ (رابطه (8) و (9)) بیان می‌شوند [7].

$$K_{fj} = A_{fj} T^{\beta_j} \exp \left(-\frac{E_{aj}}{RT} \right) \quad (8)$$

$$K_{rj} = \frac{K_{fj}}{\left(\frac{P_a}{RT} \right)^{\sum_{i=1}^N v_{ij}} \exp \left(\frac{\Delta S_j^0}{R} - \frac{\Delta H_j^0}{RT} \right)} \quad (9)$$

در روابط (8) و (9)، E_{aj} انرژی فعال‌سازی واکنش j ام، R ثابت گاز، A_{fj} ضریب پیش‌نمایی آنیوس، β_j توان دما و P_a برابر 1 bar هستند. ΔH_j^0 نیز به ترتیب تغییرات آنتالپی و آنتروپی برای واکنش j ام هستند.

1- Arrhenius law

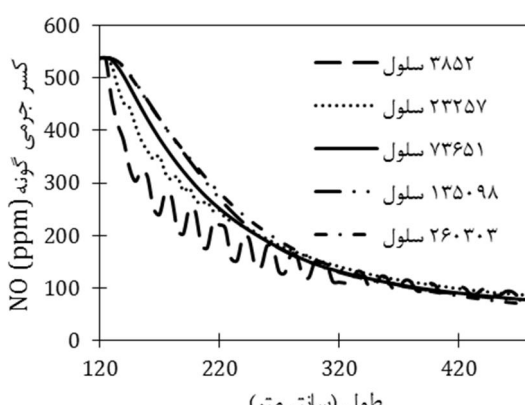
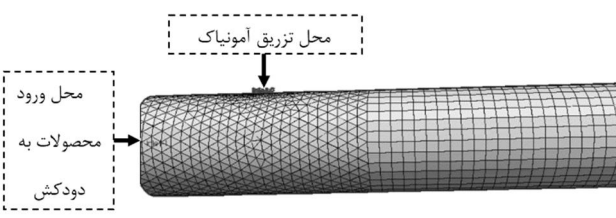
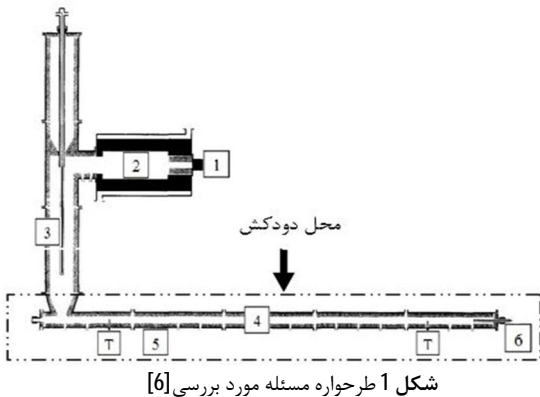
2- Gambit
3- Reacting FOAM
4- Open FOAM

و برابر 24/89 درصد است.

5-2- بررسی تأثیر تعداد نازل‌های پاشش آمونیاک

در هنگام استفاده از یک نازل در قسمت بالایی دودکش، کاهش NO در نقاط بالایی دودکش نسبت به نقاط پایینی آن بیشتر می‌شود. با توجه به کانتور کسر جرمی NO نشان داده شده در شکل 5 این نکته به خوبی نمایان است.

علت کسر جرمی بیشتر آمونیاک در نزدیکی نازل است. راه پیشنهادی در کار حاضر برای همگن‌تر شدن کاهش NO در بالا و پایین کanal افزایش تعداد نازل‌هاست. برای بررسی اثر تعداد نازل، چهار هندسه تزریق آمونیاک شامل یک نازل، دو نازل، چهار نازل و پاشش توسط



یک حلقه در دور دودکش با دیگر ثابت تزریق آمونیاک مورد بررسی قرار گرفته است. شکل 6 هندسه‌های به کار گرفته شده برای تزریق را نشان می‌دهد. برای ثابت ماندن دیجی تزریق آمونیاک $1/25 \times 10^{-5} \text{ kg/s}$ و

پیمپل¹ انجام شده است. در حلگر ریاکتینگ فوم برای گسسته‌سازی کلیه ترم‌های زمانی از روش اولر مرتبه یک استفاده شده است. گسسته‌سازی سایر جمله‌ها از روش گاووس با دقت مرتبه دوم استفاده شده است. همچنین، کلیه میان‌یابی‌ها انجام گرفته به صورت خطی است. با توجه به اینکه آلاینده NO از مرتبه ppm است، باقیمانده‌ها با دقت 1×10^{-9} محاسبه می‌شوند. با توجه به توربو‌لنس بودن جریان (عدد رینولدز 10645) ضرایب نفوذ مولکولی با تغیر خوب به وسیله فرض عدد لویس² برابر با یک و با معلوم بودن ضریب نفوذ حرارتی محاسبه می‌شوند.

شرط مرزی در ورودی دودکش برای دما، کسر جرمی گونه‌ها و سرعت، مقدار ثابت درنظر گرفته شده است. در خروجی شرط مرزی گردایان نرمال صفر برای تمامی متغیرها به کار گرفته شده است. بدین معنی که تغییرات متغیرها در جهت عمود بر سطح صفر است. همچنین، شرط مرزی خروجی برای فشار، فشار محیط است. در دیواره‌ها نیز شرط مرزی عایق برای دما، شرط عدم لغزش برای سرعت و گردایان صفر برای گونه‌ها درنظر گرفته می‌شود.

5- نتایج و بحث

در این بخش ابتدا حلگر مورد استفاده جهت شبیه‌سازی (اپن فوم) با نتایج تجربی صحبت‌سنگی می‌شود. اثر چهار هندسه تزریق آمونیاک شامل یک، دو و چهار نازل و همچنین پاشش توسط یک حلقه در دور دودکش مورد بررسی قرار می‌گیرند. نتایج براساس دو متغیر بازده و پدیده لغزش آمونیاک بحث می‌شود. سپس، تأثیر طول دودکش بر اختلاط بهتر آمونیاک با محصولات دودکش مورد بررسی قرار می‌گیرد. اثر زاویه تزریق آمونیاک در زوایای مختلف بر بازده SNCR ارزیابی می‌شود و در نهایت اثر افزودن سپرک³ در مسیر جریان تحلیل می‌شود.

5-1- صحبت‌سنگی برنامه استفاده شده

با توجه به نتایج تجربی آمونیاک تزریق شده بر بالادست جریان اثری ندارد [2]. به همین دلیل شبیه‌سازی برای 380 سانتی‌متر انتهایی دودکش انجام می‌گیرد. با توجه به وجود نازل در جداره کanal، شبکه‌بندی سه‌بعدی متفاوتی در طول کanal درنظر گرفته شده است به طوری که در نزدیکی نازل شبکه‌بندی بی‌ساختار و در سایر مکان‌های کanal شبکه‌بندی با ساختار استفاده شده است (شکل 2).

نتیجه بررسی استقلال نتایج از شبکه عددی برای کار حاضر در شکل 3 نشان داده شده است. محور افقی در این شکل مرکز کanal در راستای طول و محور عمودی مقدار گونه NO را نشان می‌دهد. نتایج حاصل از شبکه‌های محاسباتی شامل 135098 3852 سلو و 260303 22257 سلو تفاوت ناچیزی با یکدیگر دارند. بنابراین، با توجه به هزینه محاسباتی بالاتر برای شبکه‌بندی با 260303 سلو، تعداد 135098 سلو محاسباتی برای ادامه کار درنظر گرفته می‌شود.

شکل 4 نتایج تجربی کار استبرگ [6] را با نتایج عددی کار حاضر در پیش‌بینی آلاینده NO و در انتهای دودکش را با هم مقایسه می‌کند. محور افقی در این شکل دمای محصولات و محور عمودی مقدار گونه NO را نشان می‌دهد. همان‌طور که از این شکل مشخص است نتایج کار حاضر در تطابق خوبی با نتایج تجربی است، به طوری که ماقزیم خطا در دمای 1310 کلوین

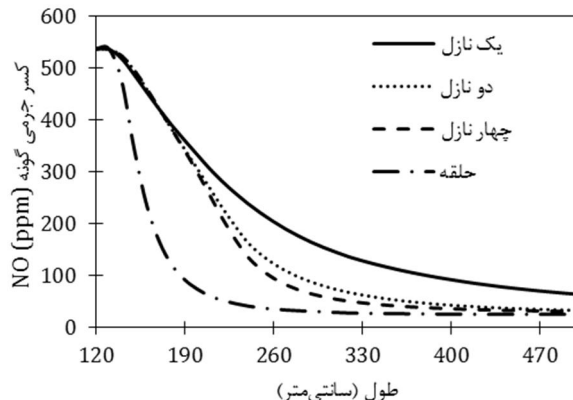
1- Pimple

2- Lewis number

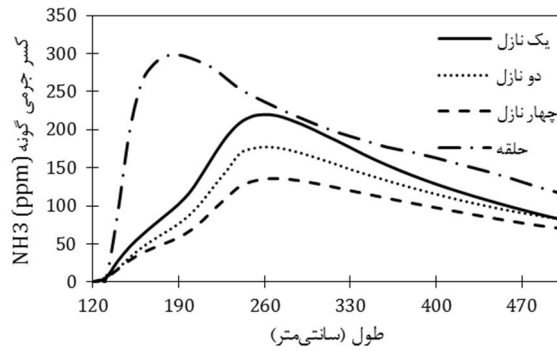
3- Baffle

این شکل مشاهده می‌شود که با افزایش تعداد نازل توزیع کسر جرمی NO در انتهای دودکش یکنواخت‌تر می‌شود که این نشانگر اختلاط بهتر است. برای بازده مطلوب SNCR و لغزش مجاز آمونیاک استفاده از دو نازل مطلوب به نظر می‌رسد.

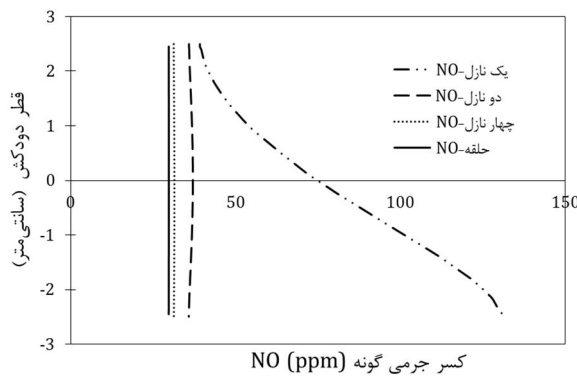
به منظور تحلیل بهتر، بازده فرآیند SNCR در شکل 10 برای تعداد نازل‌های مختلف و در انتهای دودکش بررسی شده است. همان‌طور که در این شکل مشخص است با افزایش تعداد نازل‌ها و در نهایت تزریق آمونیاک با حلقة بازده افزایش یافته است، به طوری که کمترین بازده 0/875 مربوط به تزریق با یک نازل و بیشترین بازده 0/950 برای حالت تزریق با حلقة است.



شکل 7 تغییرات کسر جرمی NO در طول دودکش برای تعداد نازل‌های پاشش مختلف



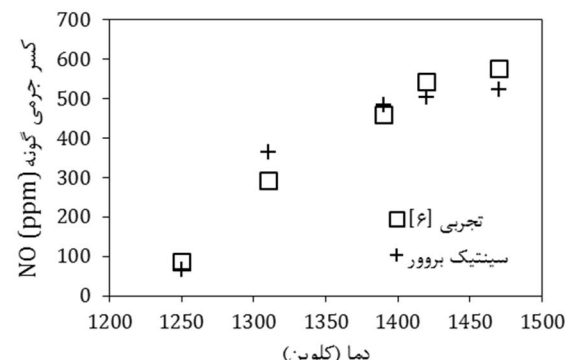
شکل 8 تغییرات کسر جرمی NH₃ در طول دودکش برای تعداد نازل‌های پاشش مختلف



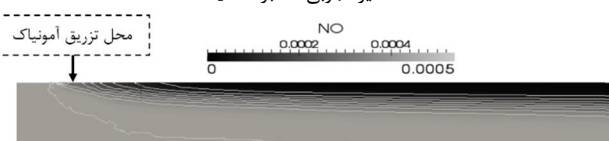
شکل 9 مقایسه توزیع کسر جرمی NO برای تعداد مختلف نازل‌ها در خروجی دودکش

سرعت تزریق آن (6/46 m/s) با توجه به رابطه $\rho AV = \dot{m}$ با افزایش تعداد نازل‌ها قطر سوراخ‌های پاشش باید کوچک‌تر انتخاب شوند. جدول 1 اندازه قطر نازل‌ها در پاشش با هندسه‌های مختلف را نشان می‌دهد. همچنین، در حالت تزریق با حلقة ضخامت آن 0/018 mm درنظر گرفته می‌شود.

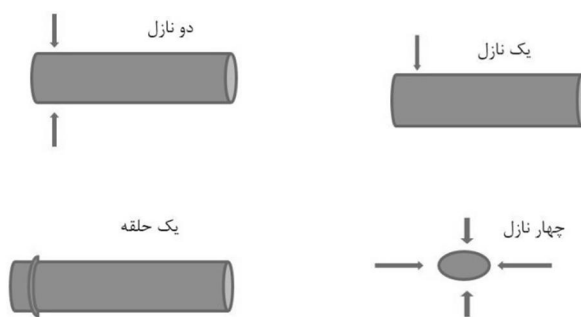
شکل 7 و 8 به ترتیب تغییرات کسر جرمی NO و NH₃ را در امتداد محور مرکزی دودکش برای چهار هندسه به کار گرفته شده نشان می‌دهند. در این شکل‌ها محور افقی طول کانال بر حسب سانتی‌متر و محور عمودی کسر جرمی گونه مورد نظر بر حسب ppm است. همان‌طور که از این شکل‌ها مشخص است، با افزایش تعداد نازل‌ها اختلاط دودکش NH₃ با محصولات دودکش بهتر شده و NO زودتر مصرف می‌شود. اما از طرف دیگر، با افزایش تعداد نازل از یک به چهار عدد لغزش آمونیاک در انتهای دودکش کمتر می‌شود. ولی در هنگام کاربرد حلقة رفتار متفاوت بوده و با تبدیل یک نازل به حلقة لغزش آمونیاک افزایش می‌یابد، که این امر مطلوب نیست.



شکل 4 صحبت‌سنجی کسر جرمی گونه NO حاصل از نتایج عددی کار حاضر با مقادیر تجربی استبرگ [6]



شکل 5 کانتور کسر جرمی NO در هنگام پاشش با یک نازل



شکل 6 طرح‌واره هندسه‌های مختلف تزریق

جدول 1 اندازه قطر نازل‌ها در پاشش با هندسه‌های مختلف

| تعداد نازل | قطر نازل (میلی‌متر) |
|------------|---------------------|
| 1 نازل | 1/90 |
| 2 نازل | 1/34 |
| 4 نازل | 0/95 |

شکل 9 توزیع NO را برای تعداد نازل‌های مختلف در نقطه انتهایی دودکش نشان می‌دهد. در این شکل محور افقی کسر جرمی گونه NO ppm و محور عمودی قطر دودکش کانال بر حسب سانتی‌متر است. با توجه به

3-5- بررسی تأثیر افزایش طول دودکش بر بازده SNCR

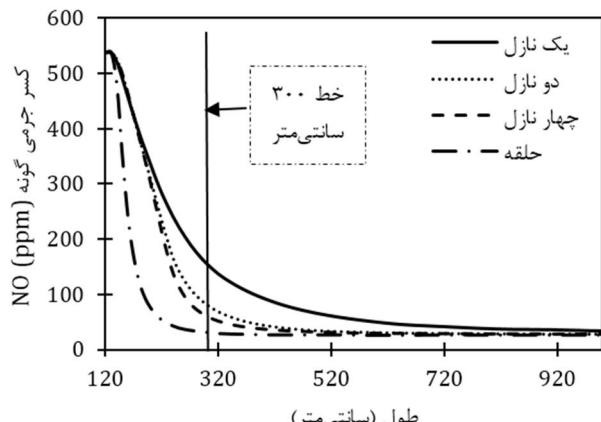
همان طور که از شکل 7 مشخص است، در هنگام استفاده از یک نازل در طول 500 سانتی متر همچنان مصرف گونه NO ادامه دارد. در این حالت به نظر می رسد زیادتر کردن طول دودکش با فراهم آوردن زمان بیشتر برای انجام واکنش ها، باعث اختلاط بهتر آمونیاک با محصولات دودکش می شود. در این بخش با افزایش طول دودکش از 500 سانتی متر به 1000 سانتی متر، تأثیر این پارامتر مورد بررسی قرار گرفته است. در شکل 12 و شکل 13، نتایج مربوط به تغییرات مقادیر گونه های NO و NH₃ در طول 1000 سانتی متر نشان داده شده است. در این دو شکل محور افقی طول کاتالیزور بر حسب سانتی متر و محور عمودی کسر جرمی گونه مورد نظر بر حسب ppm است.

با توجه به شکل های 12 و 13 در حالات حلقه، گونه NO در 300 سانتی متر اول دودکش مصرف می شود و به کمترین مقدار می رسد. در حالی که برای سایر حالت کمترین کسر جرمی گونه NO در طول های بیشتر اتفاق می افتد، به طوری که در حالت یک نازل کاهش مقدار NO در انتهای دودکش بررسی شده است. گونه NH₃ برخلاف گونه NO برای هر چهار هندسه در همچنان ادامه دارد. گونه NH₃ در طول 1000 سانتی متر همچنان در حال مصرف بوده و به حالت پایان نرسیده است.

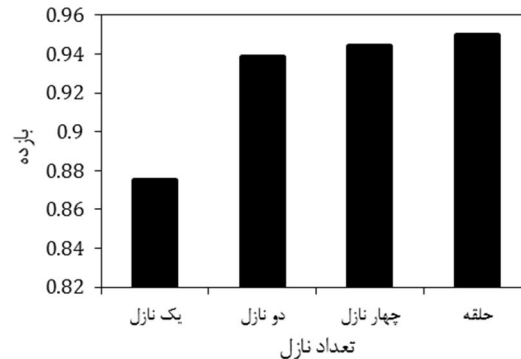
برای تحلیل جزئی تر جدول 2 کسر جرمی NO و NH₃ در خروجی دودکش برای دو طول 500 و 1000 سانتی متر را با هم مقایسه می کند. بررسی جدول 2 مشخص می شود با افزایش طول دودکش از 500 سانتی متر به 1000 سانتی متر در هر چهار هندسه به طور همزمان NO کاهش بیشتری می یابد، در حالی که NH₃ کمتری در خروجی وجود دارد، که این مطلوب است. افزایش طول دودکش تا جایی مؤثر است که تغییرات مقدار NO و NH₃ ناچیز نباشد و بعد از آن می توان از افزایش طول کاتالیزور نظر نمود. قابل ذکر است افزایش طول در هندسه تزریق با یک حلقه، اثر بیشتری بر روی کاهش پدیده لغزش آمونیاک نسبت به سایر هندسه ها داشته است، به طوری که افزایش درصد کاهش لغزش آمونیاک در هندسه های یک نازل، دو نازل، چهار نازل و پاشش توسط یک حلقه به ترتیب 8/23، 9/70، 10/65، 14/19 درصد است.

4-5- بررسی اثر زاویه نازل بر بازده SNCR

زاویه نازل (α) از پارامترهای دیگری است، که بر اختلاط بین مواد دودکش و NH₃ تزریق شده از نازل تأثیر می گذارد. در پژوهش حاضر برای بررسی اثر زاویه تزریق آمونیاک بر بازده SNCR، تزریق در زوایای 75- تا 75 درجه مورد



شکل 12 تغییرات کسر جرمی NO در طول دودکش با افزایش طول به 1000 سانتی متر



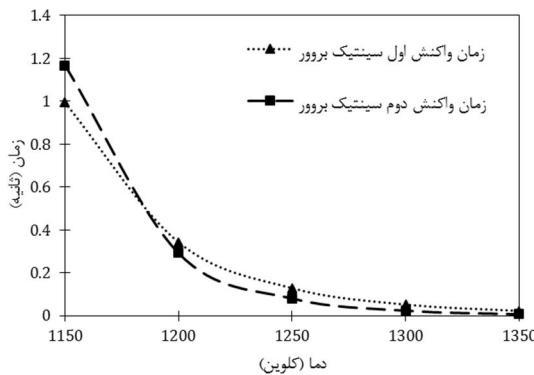
شکل 10 مقایسه بازده فرآیند SNCR برای تعداد مختلف نازل ها در خروجی دودکش در انتهای این بخش به بررسی سرعت واکنش های اول و دوم سینتیک بروور (رابطه (12)) پرداخته می شود.

سرعت انجام واکنش¹ از پارامترهای مهم در فرآیند SNCR است. از طرفی سرعت و زمان انجام واکنش با هم رابطه عکس دارند. یعنی با افزایش سرعت انجام واکنش زمان آن کاهش می یابد. استبرگ و همکاران [6] به بررسی زمان واکنش فرآیند SNCR پرداختند. ایشان با استفاده از ضرایب سینتیک دو مرحله ای بروور زمان واکنش را به صورت رابطه (13) تعریف نمودند.

$$\tau_{\text{reac}} = \frac{1}{k_r N_{\text{in}} + k_{\text{ox}}} \quad (13)$$

در رابطه (13)، k_r ، k_{ox} و τ_{reac} به ترتیب ضرایب واکنش اول و دوم رابطه (12) (سینتیک بروور) و زمان واکنش هستند. استبرگ همچنین بیان کرد، زمان هر یک از واکنش های سینتیک بروور با صفر قرار دادن ضریب واکنش دیگر در رابطه ذکر شده محاسبه می شود.

حال به منظور بررسی دقیق تر هر یک از واکنش های سینتیک بروور زمان واکنش های اول و دوم این سینتیک در شکل 11 با هم مقایسه می شود. در این شکل محور افقی دما بر حسب کلوین و محور عمودی زمان بر حسب ثانیه است. با توجه به این شکل، در دمای های پایین تر از 1200 کلوین زمان انجام واکنش اول از واکنش دوم کمتر است، در حالی که در دمای های بالاتر از 1200 کلوین روند بر عکس می شود. به عنوان نتیجه گیری کلی واکنش های اول و دوم سینتیک بروور از نظر زمانی هم مرتبه هستند و با سرعت تقریباً یکسان انجام می شوند.



شکل 11 مقایسه زمان واکنش های اول و دوم سینتیک بروور

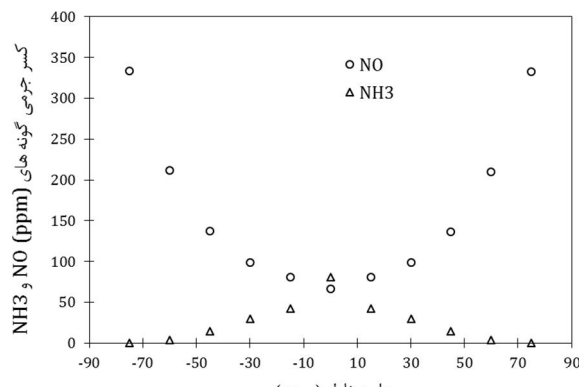
زوایای 15 و 15- درجه (42 ppm) نیز در محدوده مجاز بوده و مطلوب است. با توجه به مطالب این بخش استفاده از نازل با زوایای 15 و 15- درجه بهدلیل بازده بالا در کاهش NO و لغزش مجاز NH₃ برای به کار بردن در فرآیند SNCR مناسب است.

5- بررسی اثر افزودن سپرک در مسیر جریان

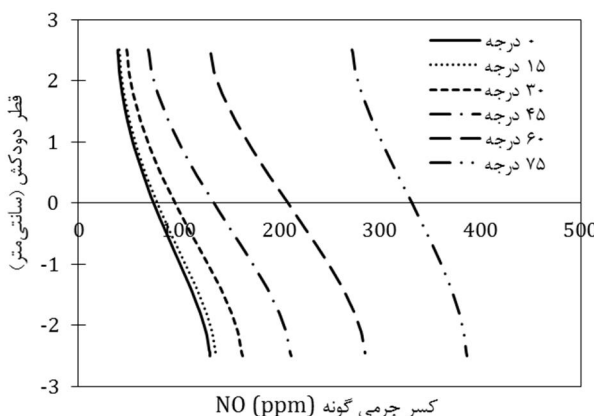
همان طور که در بخش‌های قبل بیان شد، افزایش اختلاط ماده آمونیاک با محصولات دودکش باعث بالارفتن بازده SNCR می‌شود. در بخش 3-5 مشاهده شد که با افزایش طول دودکش مقدار کاهش گونه NO در خروجی بیشترمی‌شود. افزایش طول کanal باعث بالارفتن هزینه و فضای مورد نیاز برای تجهیزات SNCR می‌شود. راه حل پیشنهادی دیگر، استفاده از سپرک است.

استفاده از سپرک در مسیر جریان، بهدلیل ایجاد گردابه، طول اختلاط را کاهش می‌دهد. در کار حاضر سپرک‌هایی با مساحت نصف سطح مقطع دودکش در فواصل 150، 200، 250، 300، 350، 400 و 450 سانتی‌متر در مسیر جریان قرار داده شده است (شکل 17).

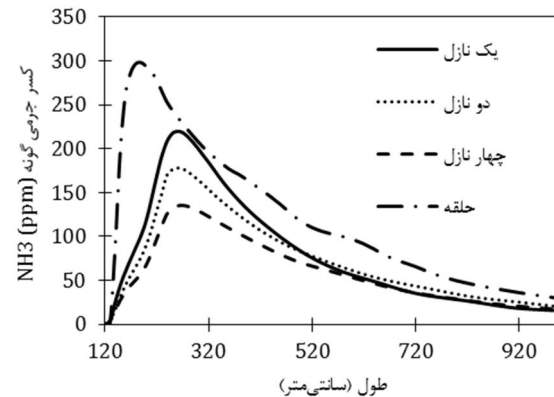
بهدلیل تغییر هندسه استقلال از مش مجدد بررسی می‌شود و تعداد 251024 سلول محاسباتی برای ادامه کار درنظر گرفته می‌شود. شایان ذکر است در بخش حاضر بهدلیل تولید گردابه‌ها در مسیر جریان از مدل اغتشاشی RNG k-ε به جای K-E استاندارد استفاده می‌شود.



شکل 15 مقدار کسر جرمی NO و NH₃ در خروجی دودکش برای تزریق در زوایای مختلف



شکل 16 مقایسه توزیع NO برای زوایای مختلف نازل در نقطه انتهایی دودکش به طول 500 سانتی‌متر



شکل 13 تغییرات کسر جرمی NH₃ در طول دودکش با افزایش طول به 1000 سانتی‌متر

جدول 2 مقایسه کسر جرمی NO و NH₃ در خروجی دودکش برای دو طول 500 و 1000 سانتی‌متر

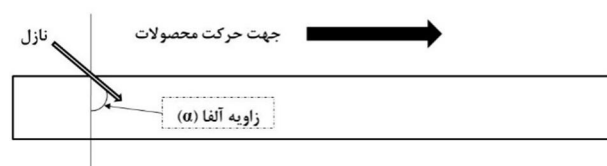
| نوع پاشش | 1000 سانتی‌متر | | 500 سانتی‌متر | |
|----------|-----------------------|---------|-----------------------|---------|
| | NH ₃ (ppm) | NO(ppm) | NH ₃ (ppm) | NO(ppm) |
| 1 نازل | 15 | 34 | 81 | 67 |
| 2 نازل | 20 | 27 | 80 | 33 |
| 4 نازل | 17 | 27 | 68 | 30 |
| حلقه | 30 | 26 | 118 | 27 |

ارزیابی قرار گرفته است. زاویه بین نازل و دودکش با توجه به شکل 14 تعریف می‌شود.

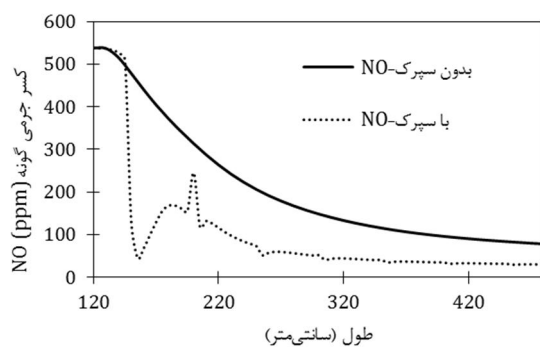
شکل 15 نتایج مربوط به مقدار NO و NH₃ در خروجی دودکش را برای پاشش آمونیاک با زوایای نازل مختلف نشان می‌دهد. در این شکل محور افقی زاویه نازل بر حسب درجه و محور عمودی کسر جرمی NO و NH₃ بر حسب ppm است. همان‌طور که از این شکل مشخص است با افزایش زاویه نازل مقدار NO در خروجی بیشتر می‌شود و در کنار آن پدیده لغزش آمونیاک کمتر می‌شود. علت این است که قطر دودکش بزرگ بوده و در نتیجه با افزایش زاویه نازل، نفوذ آمونیاک به نیمه پایینی دودکش کمتر می‌شود و بازده SNCR کاهش می‌یابد.

شکل 16 توزیع NO برای زوایای مختلف نازل در نقطه انتهایی دودکش را نشان می‌دهد. در این شکل محور افقی کسر جرمی گونه NO بر حسب ppm و محور عمودی قطر کanal بر حسب سانتی‌متر است. با توجه به این شکل با افزایش زاویه نازل از صفر تا 75 درجه، مقدار گونه NO در نیمه بالایی دودکش از مقدار 39 ppm به 272 ppm افزایش می‌یابد که در تطابق با تحلیل گفته شده در پاراگراف گذشته است.

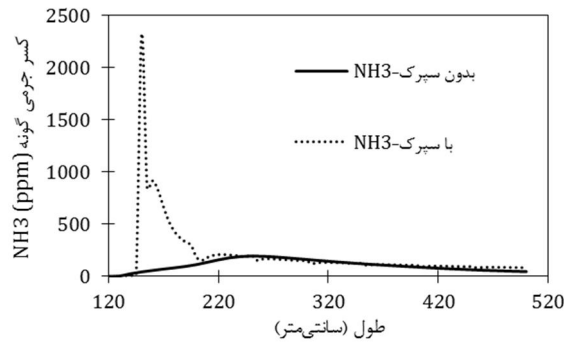
قابل ذکر است مقدار مجاز کسر جرمی آمونیاک در جو 50 ppm تا 25 ppm [2]، در نتیجه مقدار بیشترین لغزش گونه آمونیاک در حالت تزریق با



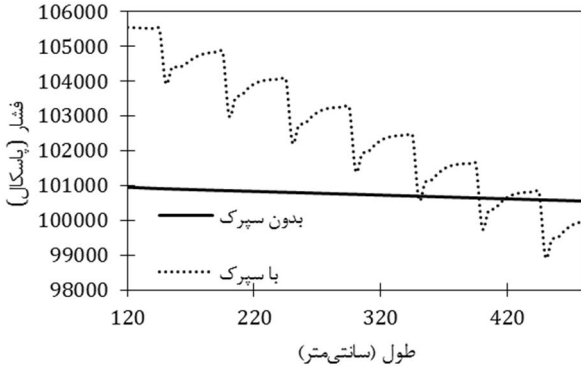
شکل 14 نحوه تعیین زاویه بین دودکش و نازل



شکل 19 تغییرات کسر جرمی گونه NO در مرکز کanal و در راستای طول آن در هنگام استفاده و عدم استفاده از سپرک



شکل 20 تغییرات کسر جرمی گونه NH₃ در مرکز کanal و در راستای طول آن در هنگام استفاده و عدم استفاده از سپرک



شکل 21 تغییرات فشار در طول دودکش در حضور سپرک و بدون حضور سپرک

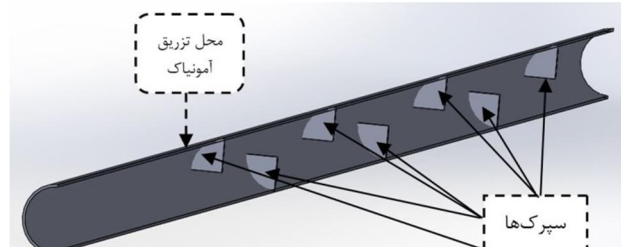
6- نتیجه گیری

در کار حاضر اثر پارامترهای مختلف طراحی بر کاهش آلینده NOx با روش کاهش انتخابی غیرکاتالیستی (SNCR)، به صورت عددی بررسی شد. چهار هندسه تزریق آمونیاک توسط یک نازل، دو نازل، چهار نازل و پاشش توسط یک حلقه در دور دودکش با فرض ثابت دبی تزریق آمونیاک مورد بررسی قرار گرفتند. با افزایش تعداد نازل‌ها و در نهایت تبدیل نازل به یک حلقه بازده روش SNCR افزایش یافت. با توجه به نتایج قسمت بررسی تعداد نازل‌های پاشش آمونیاک مختلف، استفاده از دو نازل برای فرآیند SNCR پیشنهاد می‌شود، زیرا دارای مقدار بالای کاهش NO و مقدار لغزش NH₃ کم است. سپس، اثر افزایش طول دودکش بر مقدار گونه NO و NH₃ بررسی شد. با توجه به نتایج بدست آمده در این قسمت، افزایش طول دودکش به منظور کاهش بیشتر NO و کمتر شدن لغزش NH₃ توصیه می‌شود. با ارزیابی تزریق در زوایای 75-تا 75 درجه مشخص شد که با استفاده از نازل‌های با قدر

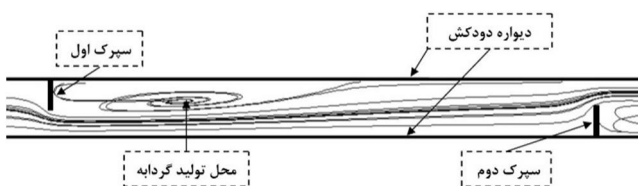
همان‌طور که بیان شد، علت اصلی کاهش طول مورد نیاز برای کاهش گونه NO در هنگام افزودن سپرک تولید گردابه‌های است. در شکل 18، با کشیدن خطوط جریان، گردابه‌های تولید شده در پشت سپرک نشان داده شده‌اند.

شکل 19 تغییرات کسر جرمی گونه NO در مرکز کanal و در راستای طول آن در هنگام استفاده و عدم استفاده سپرک را نشان می‌دهد. همان‌طور که از این شکل مشخص است در هنگام عدم استفاده از سپرک مقدار گونه NO در طول 500 سانتی‌متر به 75 ppm می‌رسد، در حالی که با استفاده از سپرک در طول 250 سانتی‌متر مقدار گونه NO به 75 ppm می‌رسد و طول مورد نیاز برای اختلاط 250 سانتی‌متر کاهش می‌یابد. شکل 20 تغییرات کسر جرمی گونه NH₃ در مرکز کanal و در راستای طول آن در هنگام استفاده و عدم استفاده سپرک را نشان می‌دهد. با توجه به این شکل در طول‌های بیشتر از 250 سانتی‌متر کسر جرمی گونه NH₃ در هنگام استفاده و عدم استفاده از سپرک رفتار مشابهی دارد، در نتیجه افزودن سپرک بر طول مورد نیاز بر کاهش گونه NH₃ تأثیر نمی‌گذارد.

از پارامترهای مهم و نامطلوب دیگر که در هنگام افزودن سپرک باید مورد بررسی قرار گیرد ایجاد افت فشار در دودکش است. افت فشار اگر بیش از حد باشد مانع خروج محصولات احتراق از دودکش می‌شود. شکل 21 تغییرات فشار در طول دودکش در حضور سپرک و بدون حضور سپرک را نشان می‌دهد. همان‌طور که از این شکل مشخص است، در حالت بدون حضور سپرک فشار تقریباً ثابت باقی می‌ماند، درحالی که در حضور سپرک فشار به اندازه 5554 پاسکال در طول دودکش افت می‌کند، که این افت فشار نامطلوب است. با توجه به شکل 21، نقاط کاهش فشار در مربوط به مکان‌های حضور سپرک‌ها (150، 200، 250، 300، 350، 400 و 450 سانتی‌متر) هستند. شایان ذکر است در خروجی دودکش فشار در شرایط با حضور سپرک و بدون حضور سپرک، برابر با فشار محیط می‌شود، که این مطلب در تطبیق کامل با شکل 21 است.



شکل 17 محل قرارگیری سپرک‌ها در مسیر جریان



شکل 18 گردابه‌های تولید شده بر اثر قرار دادن سپرک در مسیر جریان

- [4] R. K. Lyon, *Method for the Reduction of the Concentration of NO in Combustion Effluents using Ammonia*, U. S. Patent, No. 3900554, 1975.
- [5] M. A. I. Robin, H. J. Price, R. T. Squires, Tailoring NH₃ based SNCR for installation on power plants boilers, *Joint EPA/EPRI Symposium on Stationary Combustion NO_x Control*, US Environmental Protection Agency, United States, pp. 251–289, 1991.
- [6] M. Ostberg, D. J. Kim, E. J. Jan, Influence of mixing on the SNCR process, *Chemical Engineering Science*, Vol. 52, No. 15, pp. 2511-2525, 1997.
- [7] P. E. C. Burstrom, T. S. Lundstrom, CFD-modelling of Selective Non-Catalytic Reduction of NO_x in grate-kiln plants, *Seventh International Conference on CFD in the Minerals and Process Industries*, Melbourne, Australia, pp. 180-186, 2009.
- [8] E. F. Zanoelo, *Modeling Study of Selective Non-catalytic Reduction of nitrogen Oxides by Ammonia and Urea*, *Chemical Kinetics and Fluid Dynamics*, Thesis PhD, Department of Chemical Engineering, Torino University, Italy, University Torino, 1999.
- [9] N. Hosseini, *The effect of SNCR NO_x emissions in the combustion of liquid fuel in the furnace*, Master's Thesis, Department of Mechanical Engineering, Islamic Azad University of Mashhad, 1391. (In Persian)
- [10] M. Shafa, K. Mazaheri, A. Alipoor, Effect of chemical kinetics in predicting NO_x reduction with Selective Non Catalytic Reduction (SNCR) method, *fifth Conference Thermal power plant in Shahid Beheshti University of Tehran*, pp. 76-82, 2014. (In Persian)

مطلق زاویه کوچک‌تر، بدعلت نفوذ بهتر NH₃ به درون محصولات احتراق، بازده SNCR افزایش می‌یابد. درنهایت اثر افزودن چند سپرک در دودکش مورد بررسی بر فرآیند SNCR بررسی شد. با توجه به نتایج افزودن سپرک در مسیر جریان، استفاده از این عامل برای فرآیند SNCR توصیه نمی‌شود، زیرا بر کمتر شدن طول لازم برای پدیده لغزش آمونیاک تأثیر نمی‌گذارد و احتیاج به طولی مشابه با عدم حضور سپرک به منظور رسیدن غلظت گونه NH₃ به مقدار مجاز دارد. همچنین، حضور سپرک باعث افت فشار در مسیر جریان می‌شود.

7- مراجع

- [1] A. Dabir, *Government had a greater role in reducing pollution*, Accessed 2 February 2014; <http://www.mohitzist.ir/fa/content/1140>.
- [2] M. T. Javed, N. Irfan, B. M. Gibbs, Review Control of combustion-generated nitrogen oxides by selective non-catalytic reduction, *Journal of Environmental Management*, Vol.83, pp. 251-289, 2007.
- [3] L. J. Muzio, J. K. Arand, D. P. Teixeira, Gas Phase Decomposition of Nitric Oxide in Combustion Product, *Sixteenth Symposium (International) on Combustion*, University of Leeds, England, pp. 199-208, 1977.